

МИНИСТЕРСТВО ОБРАЗОВАНИЯ И НАУКИ РОССИЙСКОЙ ФЕДЕРАЦИИ  
Федеральное государственное бюджетное образовательное учреждение  
высшего образования  
«Ульяновский государственный технический университет»

# **Защита беспилотных летательных аппаратов от спуфинг атак**

Студент бакалавриата, направления - «Инфокоммуникационные технологии и системы связи»  
Прокопьев Т.В.

Кафедра «Телекоммуникации»

Научный руководитель - профессор Гладких А.А.

# Сирия. Январь 2018. Атака БПЛА



Рисунок 1

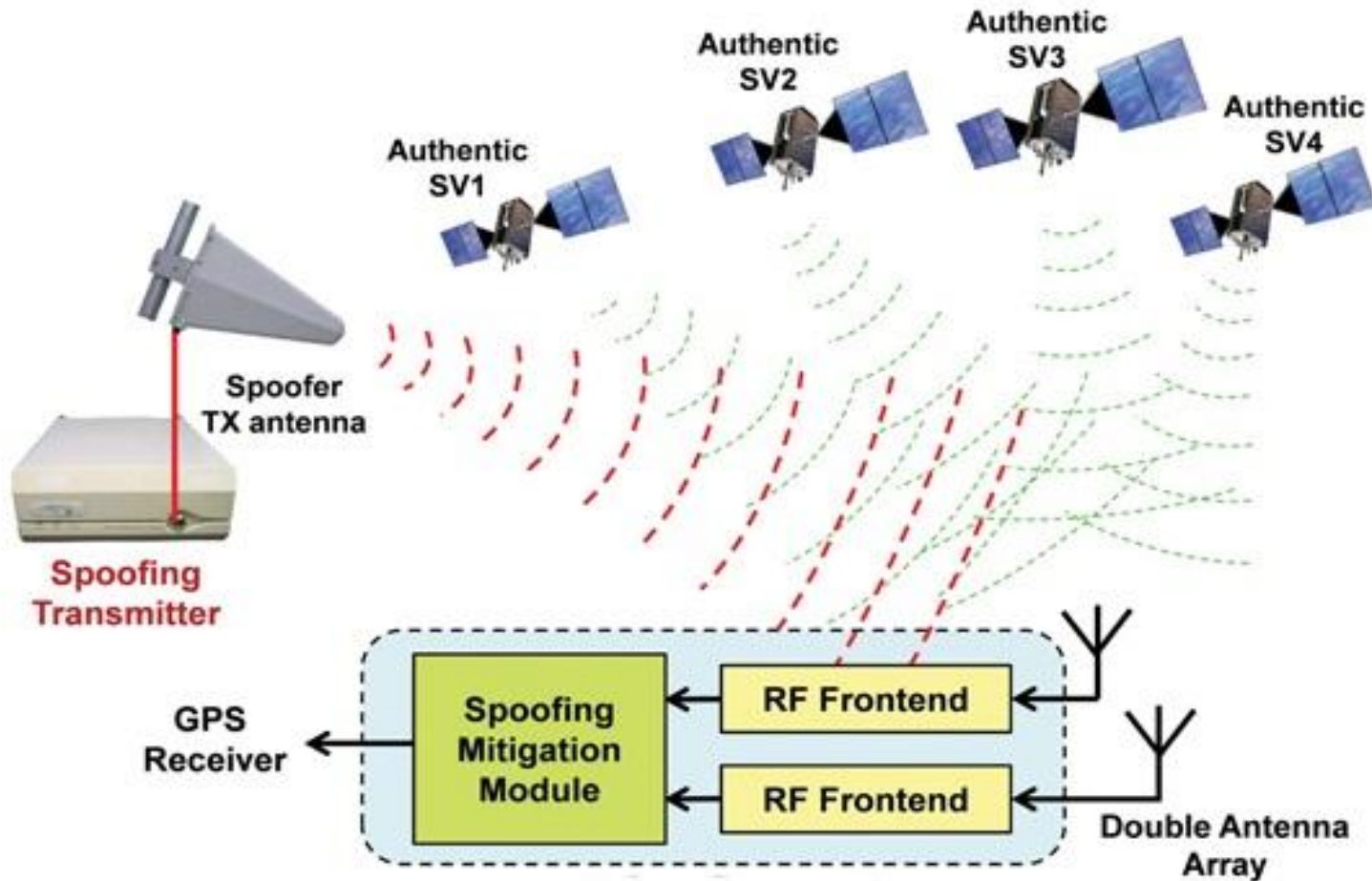
**Цель работы:** Проведение анализа существующих методов захвата беспилотных летательных аппаратов с помощью спуфинг атак.

### **Задачи исследования:**

1. Рассмотреть стратегии откровенного и скрытого спуфинга, отличающиеся попытками спуфера, избежания обнаружения целевого GPS-приемника и целевой навигационной системы оценщика.
2. Выявить необходимые условия для захвата БПЛА с помощью спуфинга.
3. Проанализировать взаимосвязанную динамику БПЛА и спуфера, и имитации для изучения практических сценариев контроля после захвата.
4. Внедрение метода перестановочного декодирования в систему управления БПЛА.

# Общее описание спуфинг атаки

Спуфинг (от англ. spoofing — подмена, мистификация) – это атака, которая пытается обмануть GPS-приемник, широковещательно передавая немного более мощный сигнал, чем полученный от спутников GPS, такой, чтобы быть похожим на ряд нормальных сигналов GPS.



Рисунок

# Процесс захвата БПЛА

Красные точки – точки отслеживания, которые пытаются удерживать себя центрированными на этом пике.

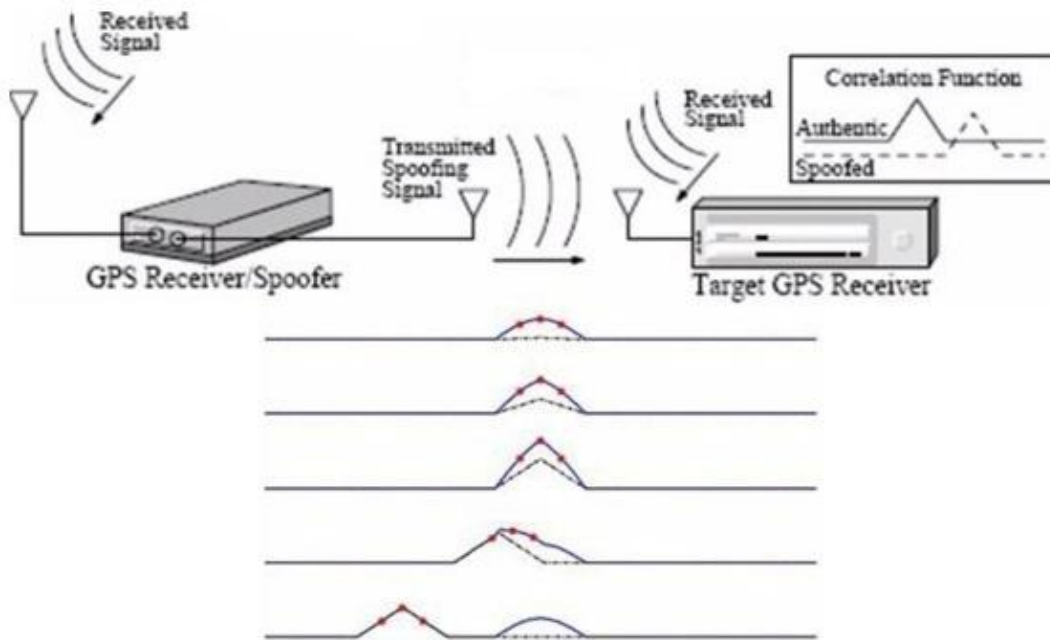


Рисунок 3

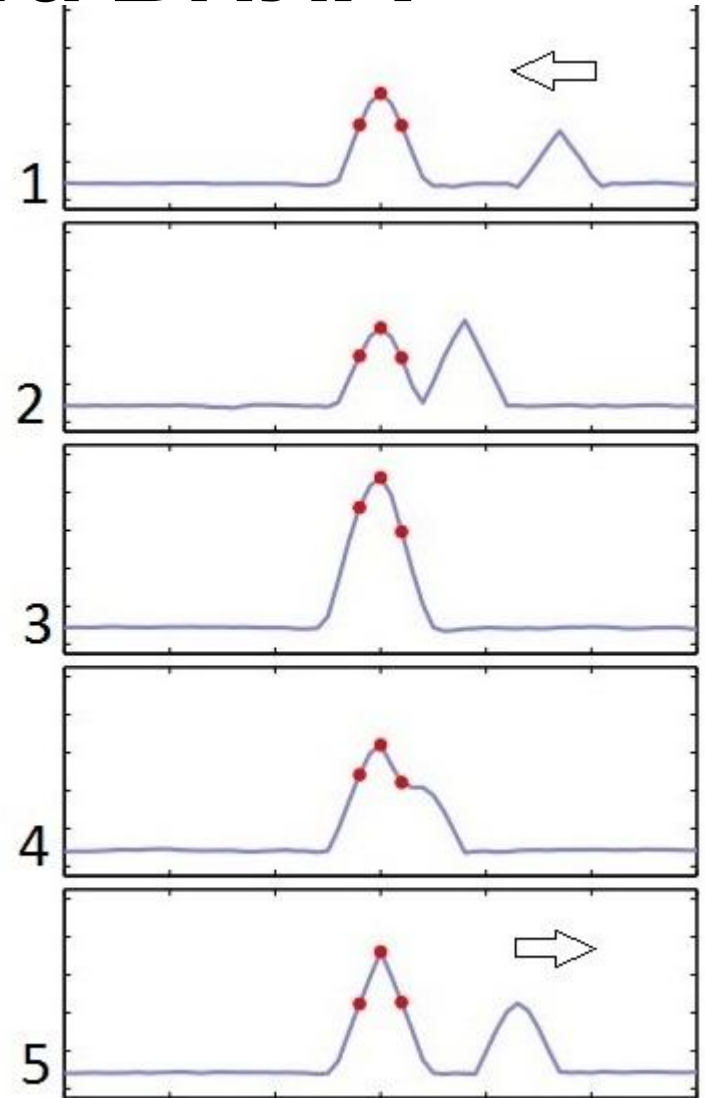


Рисунок 4

# Классификация захватов

- Захват навигационной системы подразумевает, что spoofer получил контроль над достаточным количеством целевых GPS-приемников активных кодов и отслеживает БПЛА.
- Основным «оружием» спуфера стал имитатор GPS-сигналов и усилители



$$\eta = \frac{P_c}{P_a}$$

$P_c$  - мощность спуфинг сигнала

$P_a$  - мощность подлинного сигнала



# Захват оценщика навигационного состояния



$\eta$ (dB)	Maximum velocity offset [m/s]		
	Javad Delta	Trimble Juno SB	ublox Lea-6N
1	10	10	10
2	10	10	15
3	15	10	15

Результаты тестов спуфинг атак против различных коммерческих GPS-приемников (скорость смещения 10 м/с соответствует смещению Доплера 53 Гц и смещение 15 м/с соответствует 79 Гц)

# Управление после захвата БПЛА

- Цель управления спуфера - заставить БПЛА отслеживать некоторые исходные положения, скорость и траекторию перемещения.

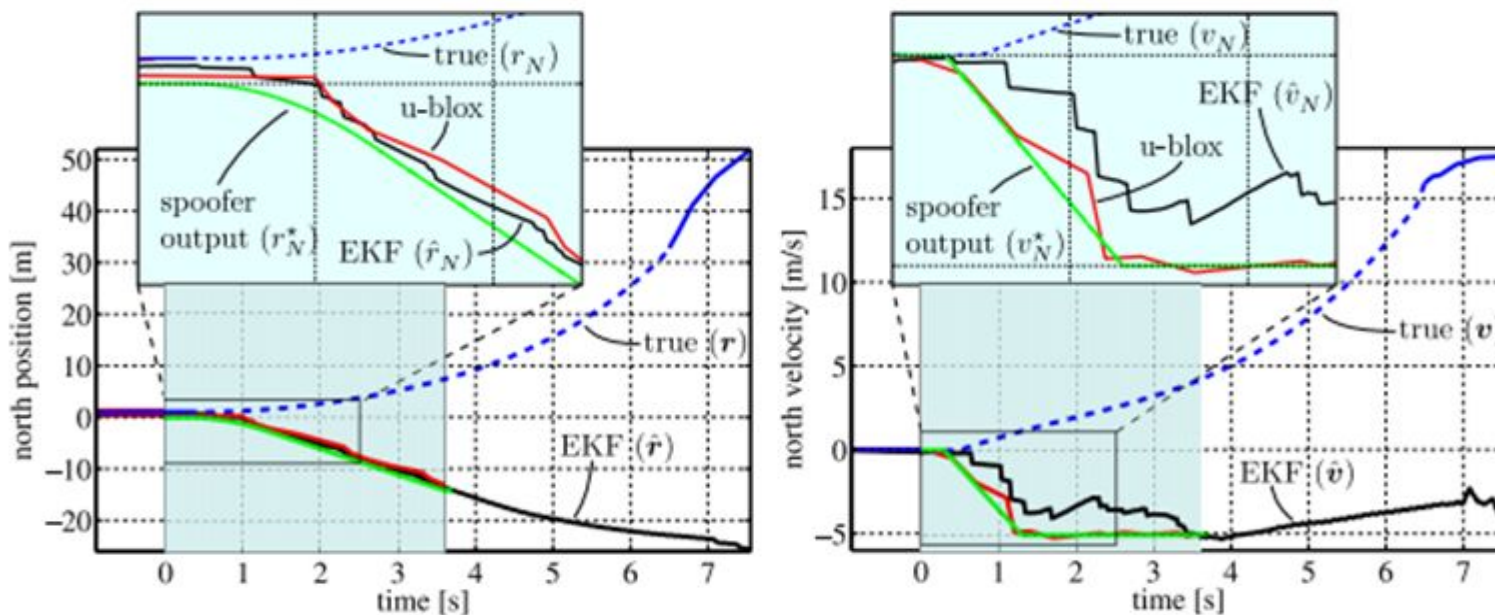


Рисунок 3

Оператор немедленно приказывает БПЛА ускориться на юг. Однако, он не имеет достаточного контроля, чтобы остановить последствиями спуфинг атаки.



# Проблемы возникающие при захвате



1. Тенезация антенны

2. Расположение антенны

Рисунок  
6

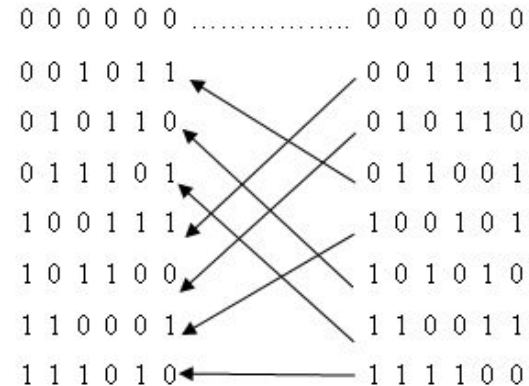
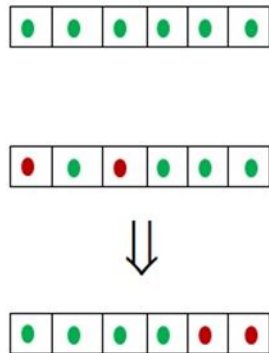
# Алгебраическая основа формирования эквивалентных кодов

В теории групп под перестановкой произвольного множества подразумевается биекция этого множества на себя. Пусть  $S_{k \times k}$  - невырожденная матрица, а векторы  $V_i$  и  $V_j$  длины  $k$ . В этом случае  $V_i S \oplus V_j S = (V_i \oplus V_j) S$  - вектор кода. Если  $(V_i \oplus V_j) S = 0$ , при условии  $(V_i \oplus V_j) \neq 0$

Если  $V_i \neq V_j$ , то  $V_i S \neq V_j S$ , тогда все строки матрица  $M^T S$  - различны

$M_{k \times (q^k - 1)}$  - матрица модулярного представления кода  $M^T S = R M^T$ , где  $R$  - матрица перестановок

## Пример:



## Весовой спектр двоичных кодов одинаков

**Теорема 1.** Любая циклическая перестановка столбцов порождающей матрицы исходного кода  $G_{ucx}$  при оценке произвольной матрицы  $Q_{k \times k}$ , образованной случайным образом из столбцов матрицы  $G_{ucx}$  приводит к  $\Delta \neq 0$  и тождеству  $G'_s \equiv G$ .

**Доказательство.** Поскольку столбцы матрицы  $G_{ucx}$  линейно независимы, то любой их циклический сдвиг обеспечивает невырожденность матрицы  $Q_{k \times k}$  и приведение переставленной матрицы  $G'$  в несистематической форме к матрице  $G'_s \equiv G$ .

$$\begin{aligned}
 & G_{ucx} \implies G_{nep} \implies G_{nep}^{cuc} \\
 & G_{ucx} = \begin{vmatrix} \alpha^0 & 0 & 0 & \alpha^4 & \alpha^0 & \alpha^4 & \alpha^5 \\ 0 & \alpha^0 & 0 & \alpha^2 & \alpha^0 & \alpha^6 & \alpha^6 \\ 0 & 0 & \alpha^0 & \alpha^3 & \alpha^0 & \alpha^1 & \alpha^3 \end{vmatrix} \\
 & G_{nep} = \begin{vmatrix} \alpha^4 & \alpha^0 & \alpha^4 & \alpha^5 & \alpha^0 & 0 & 0 \\ \alpha^2 & \alpha^0 & \alpha^6 & \alpha^6 & 0 & \alpha^0 & 0 \\ \alpha^3 & \alpha^0 & \alpha^1 & \alpha^3 & 0 & 0 & \alpha^0 \end{vmatrix} \implies G_{nep}^{cuc} = \begin{vmatrix} \alpha^0 & 0 & 0 & \alpha^4 & \alpha^0 & \alpha^4 & \alpha^5 \\ 0 & \alpha^0 & 0 & \alpha^2 & \alpha^0 & \alpha^6 & \alpha^6 \\ 0 & 0 & \alpha^0 & \alpha^3 & \alpha^0 & \alpha^1 & \alpha^3 \end{vmatrix} \\
 & Q_{k \times k} = \begin{vmatrix} \alpha^4 & \alpha^0 & \alpha^4 \\ \alpha^2 & \alpha^0 & \alpha^6 \\ \alpha^3 & \alpha^0 & \alpha^1 \end{vmatrix} \quad \Delta Q = \alpha^5 \quad Q_{norm} = \begin{vmatrix} \alpha^5 & \alpha^5 & \alpha^5 \\ \alpha^2 & \alpha^4 & \alpha^6 \\ \alpha^3 & \alpha^4 & \alpha^1 \end{vmatrix} = Q^* \quad (Q_{norm})^T = \begin{vmatrix} \alpha^5 & \alpha^2 & \alpha^3 \\ \alpha^5 & \alpha^4 & \alpha^4 \\ \alpha^5 & \alpha^6 & \alpha^1 \end{vmatrix} = (Q^*)^T \\
 & Q^{-1} = \frac{1}{\Delta Q} * ((Q_{norm})^T) = \begin{vmatrix} \alpha^0 & \alpha^4 & \alpha^5 \\ \alpha^0 & \alpha^6 & \alpha^6 \\ \alpha^0 & \alpha^1 & \alpha^3 \end{vmatrix} \quad Q \cdot Q^{-1} = E \\
 & Q^{-1} \cdot G_{nep} = G_{nep}^{cuc} \quad \begin{vmatrix} \alpha^0 & \alpha^4 & \alpha^5 \\ \alpha^0 & \alpha^6 & \alpha^6 \\ \alpha^0 & \alpha^1 & \alpha^3 \end{vmatrix} \times \begin{vmatrix} \alpha^4 & \alpha^0 & \alpha^4 & \alpha^5 & \alpha^0 & 0 & 0 \\ \alpha^2 & \alpha^0 & \alpha^6 & \alpha^6 & 0 & \alpha^0 & 0 \\ \alpha^3 & \alpha^0 & \alpha^1 & \alpha^3 & 0 & 0 & \alpha^0 \end{vmatrix} = G_{nep}^{cuc} = \begin{vmatrix} \alpha^0 & 0 & 0 & \alpha^4 & \alpha^0 & \alpha^4 & \alpha^5 \\ 0 & \alpha^0 & 0 & \alpha^2 & \alpha^0 & \alpha^6 & \alpha^6 \\ 0 & 0 & \alpha^0 & \alpha^3 & \alpha^0 & \alpha^1 & \alpha^3 \end{vmatrix}
 \end{aligned}$$

# Выводы

1. Развитие беспроводных сенсорных сетей требует предвидения спуфинг атак и разработку методов противодействия таким акциям.
2. В качестве методов борьбы с акциями спуфинга следует рассматривать системы криптографии, которые экономически невыгодны на таких устройствах.
3. Применение средств помехоустойчивости кодирования с использованием управляемых перестановок, позволяющих на коротком отрезке времени осуществлять маскировку истинной структуры сигнала.

**СПАСИБО ЗА ВНИМАНИЕ!**